

目 次

综合评述

稀土磷肥及含稀土磷矿在农业领域的应用效果与前景 张 塞, 王登红*, 王 伟, 谭晓军, 于 扬 583

稀土发光

煅烧气氛对 $\text{LuGd}_2\text{Ga}_3\text{Al}_2\text{O}_{12}:\text{Ce}^{3+}$ 荧光粉的发光性质影响 彭光怀, 邹征刚, 廖金生*, 温和瑞 594

NaLuF_4 掺杂 Tm^{3+} 和 Er^{3+} 的 X 射线激发发光特性研究 郑 尧, 李 拓, 兰 斌, 卢虹冰*, 张文立* 602

稀土催化

合成 CeCO_3F 的微观结构和脱硝性能研究 李 娜, 张胜寒*, 李 华, 王晶晶, 张 凯, 武文斐 610

磁学与磁性材料

$\text{Gd}_{1-x}\text{Ho}_x\text{TiGe}$ 的物相结构和磁性及磁热效应 胡义嘎, 特利贡, 特古斯* 617

稀土新材料

Na_2CO_3 沉淀制备超细 Y_2O_3 粉体的研究 高国华, 赖安邦, 廖春发, 刘钧云, 任 卫, 肖燕飞* 622

碳酸铈盐形貌调控及其热分解制备 CeO_2 章子熊, 刘 涛, 兰苑培*, 顾小英, 毛锡嵩, 夏雪雯, 姜浪钊 633

钇对 AB_5 型 $\text{La}_{0.7-x}\text{Y}_x\text{Ce}_{0.3}\text{Ni}_{3.9}\text{Co}_{0.45}\text{Mn}_{0.35}\text{Al}_{0.3}$ 储氢合金的组织 and 电化学性能的影响 孙 艳, 罗永春* 640

稀土化学与湿法冶金

响应曲面法优化 MgO 沉淀离子型稀土矿浸出液工艺 陈久昌, 姚清霞, 邱建民, 吕英威, 刘庆生* 646

稀土金属学与火法冶金

高钎耐热镁合金在高温蠕变过程中的显微组织演变 付三玲, 李全安*, 张 清 655

钎在镁合金熔炼过程中行为的热力学分析 栗圣凯, 邹胜伟, 李明照* 661

稀土电解槽电场仿真与阴极结构优化 张恒星, 吕晓军*, 袁水平, 王俊娥, 陈 杭, 刘 颂, 曾小鹏, 简勇章 667

稀土应用

梯度层不同配比对等离子喷涂 $\text{Mo}/8\text{YSZ}$ 功能梯度热障涂层残余应力的影响规律研究 庞 铭*, 刘全秀, 张啸寒 677

纳米 Y_2O_3 对 14CrSiMnV 硬质合金涂层耐磨耐热氧化性影响 刘小鱼, 隋 意, 杨利峰, 岳俊宇, 孙晓华, 刘常升* 688

稀土地矿

蓖麻油酸钠协同体系中独居石的浮选行为及机制研究 刘明宝*, 裴 丹, 李 航, 武媛雯, 印万忠 696

河南嵩县车村萤石矿床稀土元素特征及地质意义 董文超, 庞绪成*, 司媛媛, 梁 贞, 李文明 706

* 通讯联系人

欢迎浏览: <http://www.re-journal.com> 网站

Journal of the Chinese Society of Rare Earths

Volume 38 Number 5 October 2020

Contents

Application Effect and Prospect of Rare Earth Phosphate Fertilizer and Rare Earth Phosphate Ore in Agriculture	
..... Zhang Sai et al.	583
Effects of Calcination Atmosphere on Luminescence Properties of $\text{LuGd}_2\text{Ga}_3\text{Al}_2\text{O}_{12}:\text{Ce}^{3+}$ Phosphor	Peng Guanghuai et al. 594
Synthesis of NaLuF_4 Nanoparticles Doping with Tm^{3+} or Er^{3+} as X-ray Excited Luminescent Probes	Zheng Yao et al. 602
Microstructure and Denitrification Performance of Simulated CeCO_3F	Li Na et al. 610
Phase Structure, Magnetism and Magnetocaloric Effect of $\text{Gd}_{1-x}\text{Ho}_x\text{TiGe}$	Hu Yiga et al. 617
Preparation of Ultrafine Yttrium Oxide Powder by Sodium Carbonate	Gao Guohua et al. 622
Morphology Control of Cerium Carbonate and Its Thermal Decomposition to Prepare CeO_2	Zhang Zixiong et al. 633
Effect of Yttrium on Microstructure and Electrochemical Properties of AB_5 Type $\text{La}_{0.7-x}\text{Y}_x\text{Ce}_{0.3}\text{Ni}_{3.9}\text{Co}_{0.45}\text{Mn}_{0.35}\text{Al}_{0.3}$ Hydrogen Storage Alloy	Sun Yan et al. 640
Optimization of Leaching Solution of Magnesium Oxide Precipitated Ionic Rare Earth Ore by Response Surface Methodology	Chen Jiuchang et al. 646
Microstructural Evolution of High Gadolinium Heat Resistant Magnesium Alloys during High Temperature Creep	
..... Fu Sanling et al.	655
Thermodynamic Analysis of Behavior of Rare Earth Element Neodymium in Magnesium Alloy Melting Process	
..... Li Shengkai et al.	661
Electric Field Numerical Simulation and Cathode Structure Optimization of Rare Earth Electrolysis Cell	
..... Zhang Hengxing et al.	667
Influence Rule of Different Ratios of Gradient Layer on Residual Stress of Plasma Sprayed Mo/8YSZ Functionally Graded Thermal Barrier Coating	Pang Ming et al. 677
Effect of Nano-Yttria on Friction and Thermal Oxidation Resistance of 14CrSiMnV Alloy Coatings	Liu Xiaoyu et al. 688
Flotation Characteristics and Mechanisms of Monazite in Synergistic Systems Containing Sodium Ricinoleate	
..... Liu Mingbao et al.	696
REE Geological Characteristics of Checun Fluorite Deposit in Song County, Henan Province	Dong Wenchao et al. 706

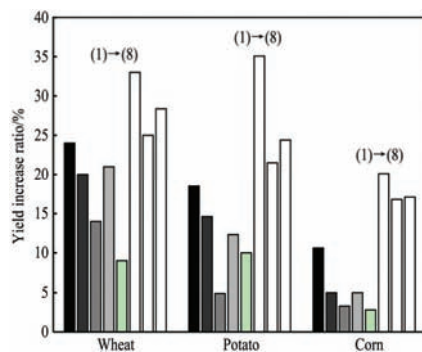
目录

综合评述

583 稀土磷肥及含稀土磷矿在农业领域的应用效果与前景

张塞, 王登红*, 王伟, 谭晓军, 于扬

中国稀土学报, 2020, 38(5): 583-593



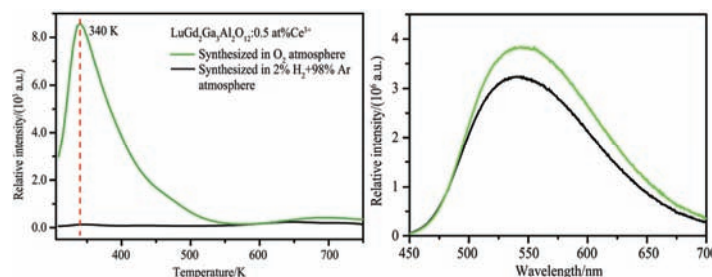
Yield increase rate of different crops treatment (compared with ordinary phosphate fertilizer)
(1) Single application of rare earth phosphate fertilizer; (2) Single application of "big harvest"; (3) Single application of plant nutrient; (4) Single application of rare earth micronutrient; (5) Ordinary phosphate fertilizer+phosphorus synergist; (6) Rare earth phosphate fertilizer+"big harvest"; (7) Rare earth phosphate fertilizer+phytonutrients; (8) Rare earth phosphate fertilizer+rare earth micronutrient

稀土发光

594 煅烧气氛对 $\text{LuGd}_2\text{Ga}_3\text{Al}_2\text{O}_{12}:\text{Ce}^{3+}$ 荧光粉的发光性质影响

彭光怀, 邹征刚, 廖金生*, 温和瑞

中国稀土学报, 2020, 38(5): 594-601

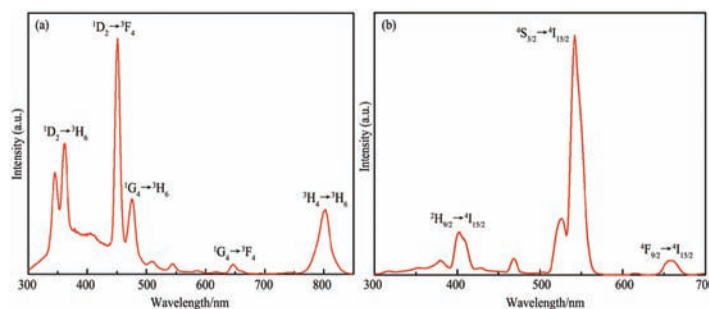


Reduction atmosphere is beneficial to the formation of oxygen vacancy, which could improve luminescence

602 NaLuF_4 掺杂 Tm^{3+} 和 Er^{3+} 的 X 射线激发发光特性研究

郑尧, 李拓, 兰斌, 卢虹冰*, 张文立*

中国稀土学报, 2020, 38(5): 602-609



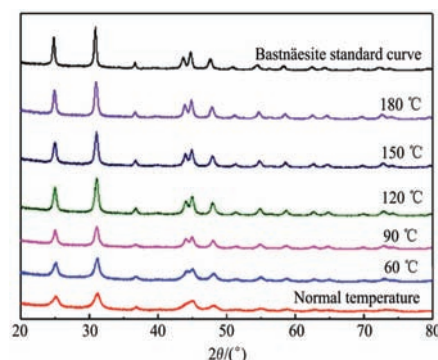
X-ray excited luminescence spectra of $\text{NaLuF}_4:20\% \text{Gd}^{3+}$, (a) Tm^{3+} or (b) Er^{3+} NPs with 80 kV of tube voltage and 0.7 mA of tube current

稀土催化

610 合成 CeCO_3F 的微观结构和脱硝性能研究

李娜, 张胜寒*, 李华, 王晶晶, 张凯, 武文斐

中国稀土学报, 2020, 38(5): 610-616

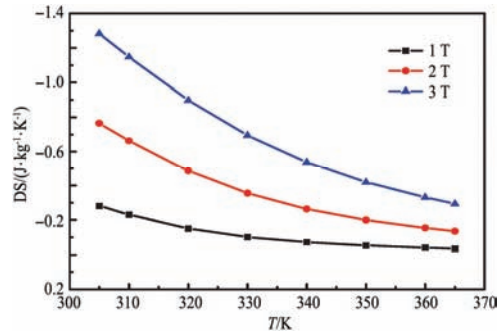


XRD spectra of CeCO_3F obtained at different temperatures

磁学与磁性材料

617 Gd_{1-x}Ho_xTiGe 的物相结构和磁性及磁热效应

胡义嘎, 特利贡, 特古斯*



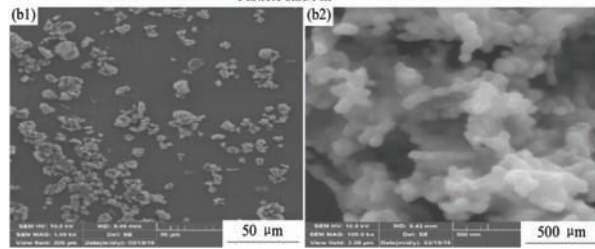
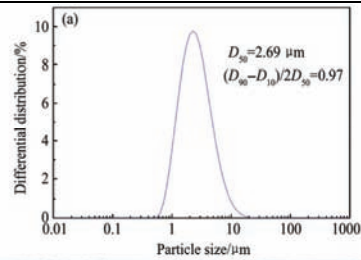
Isothermal magnetic entropy change of Gd_{0.8}Ho_{0.2}TiGe

中国稀土学报, 2020, 38(5): 617-621

稀土新材料

622 Na₂CO₃ 沉淀制备超细 Y₂O₃ 粉体的研究

高国华, 赖安邦, 廖春发, 刘钧云, 任卫, 肖燕飞*

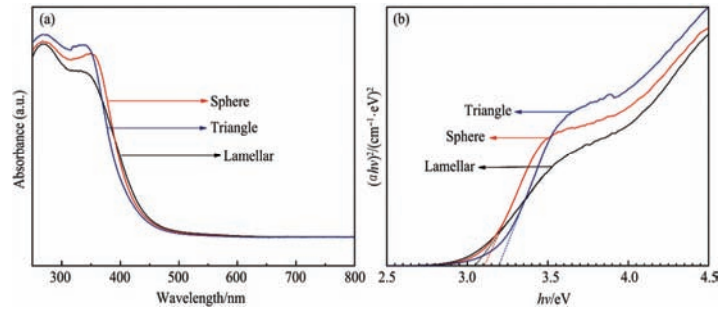


Particle size distribution (a) and SEM image (b) of Y₂O₃

中国稀土学报, 2020, 38(5): 622-632

633 碳酸铈盐形貌调控及其热分解制备 CeO₂

章子熊, 刘涛, 兰苑培*, 顾小英, 毛锡嵩, 夏雪雯, 姜浪钊

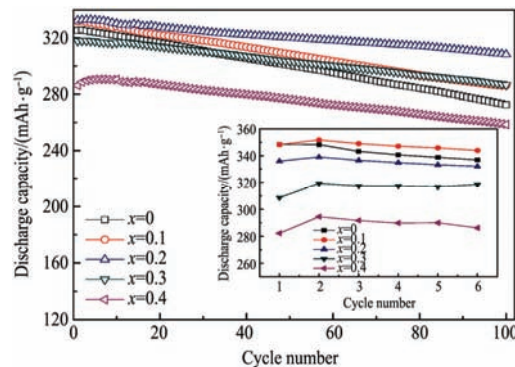


UV-vis diffuse reflectance spectras (a) and band gaps (b) of lamellar, triangle and sphere structure samples roasted at 400 °C for 2 h

中国稀土学报, 2020, 38(5): 633-639

640 钕对 AB₅ 型 La_{0.7-x}Y_xCe_{0.3}Ni_{3.9}Co_{0.45}Mn_{0.35}Al_{0.3} 储氢合金的组织 and 电化学性能的影响

孙艳, 罗永春*



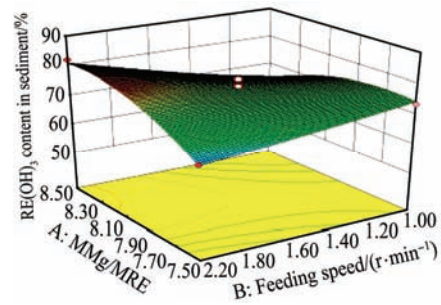
Cycle curve of La_{0.7-x}Y_xCe_{0.3}Ni_{3.9}Co_{0.45}Mn_{0.35}Al_{0.3} (x=0-0.4) alloy electrodes

中国稀土学报, 2020, 38(5): 640-645

稀土化学与湿法冶金

646 响应曲面法优化 MgO 沉淀离子型稀土矿浸出液工艺

陈久昌, 姚清霞, 邱建民, 吕英威, 刘庆生*



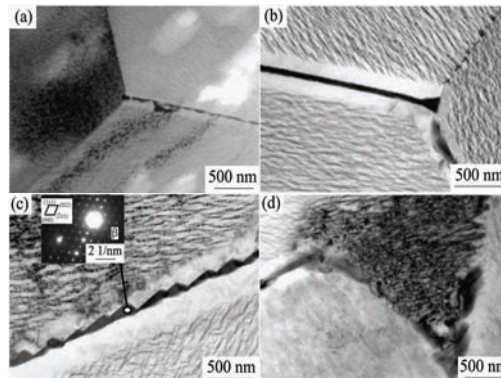
Response surface and contour plot of RE(OH)₃ content in sediment (Response surface of factor A-B)

中国稀土学报, 2020, 38(5): 646-654

稀土金属学与火法冶金

655 高钎耐热镁合金在高温蠕变过程中的显微组织演变

付三玲, 李全安*, 张清

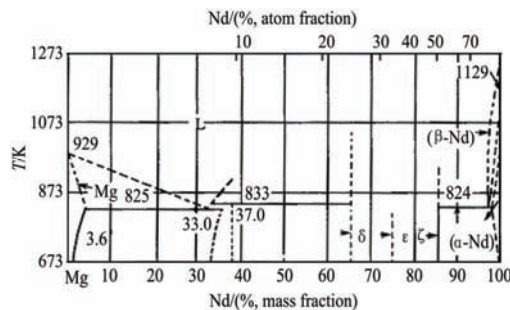


Precipitation free zone of alloy at different creep time
(a) 10 min;
(b) 30 min;
(c) 100 h;
(d) Triangular grain boundary of creep 100 h

中国稀土学报, 2020, 38(5): 655-660

661 钕在镁合金熔炼过程中行为的热力学分析

栗圣凯, 邹胜伟, 李明照*

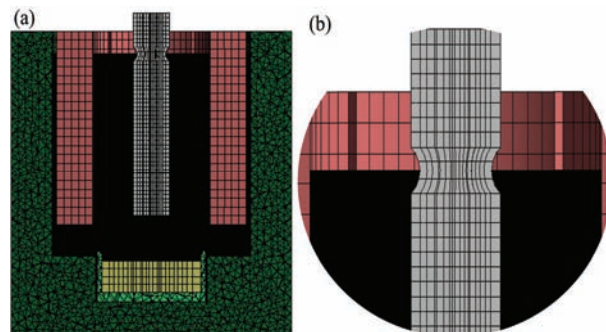


Phase diagram of Mg-Nd binary alloys

中国稀土学报, 2020, 38(5): 661-666

667 稀土电解槽电场仿真与阴极结构优化

张恒星, 吕晓军*, 衷水平, 王俊娥, 陈杭, 刘颂, 曾小鹏, 简勇章



Finite element model of rare earth electrolysis cell with tungsten cathode corrosion at air-electrolyte interface

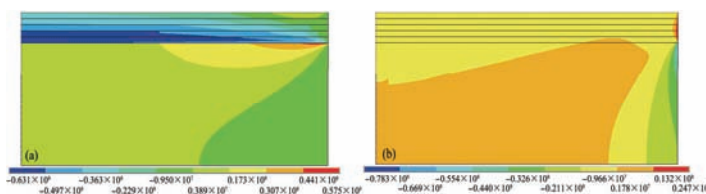
(a) Sectional view; (b) Enlarged view

中国稀土学报, 2020, 38(5): 667-676

稀土应用

677 梯度层不同对比对等离子喷涂 Mo/8YSZ 功能梯度热障涂层残余应力的影响规律研究

庞 铭*, 刘全秀, 张啸寒



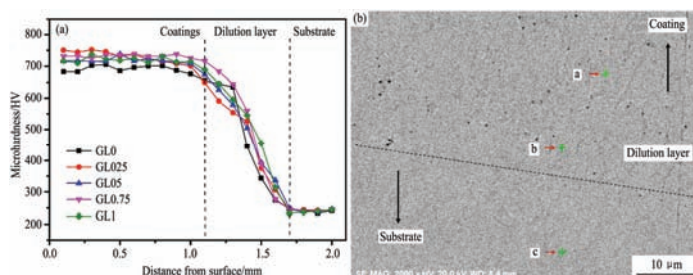
Residual stress of functional thermal barrier coating (Unit: Pa)

(a) Radial stress; (b) Axial stress

中国稀土学报, 2020, 38(5): 677-687

688 纳米 Y₂O₃ 对 14CrSiMnV 硬质合金涂层耐磨耐热氧化性影响

刘小鱼, 隋 意, 杨利峰, 岳俊宇, 孙晓华, 刘常升*



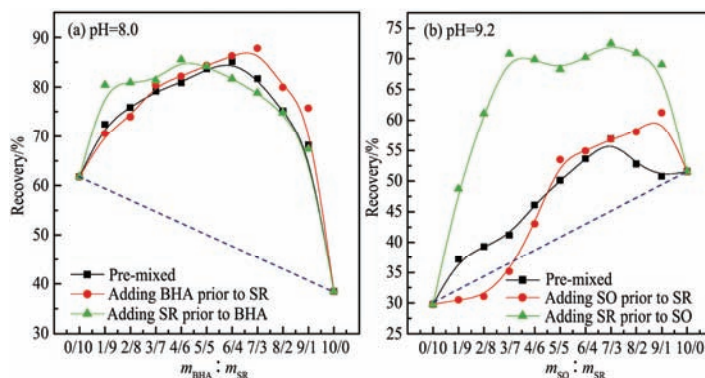
Microhardness distribution (a) and SEM image (b) of interface of iron alloy coating with nano-yttria

中国稀土学报, 2020, 38(5): 688-695

稀土地矿

696 蓖麻油酸钠协同体系中独居石的浮选行为及机制研究

刘明宝*, 裴 丹, 李 航, 武媛雯, 印万忠



Monazite flotation behavior as a function of reagent mass ratio at different adding orders in various systems

中国稀土学报, 2020, 38(5): 696-705

706 河南嵩县车村萤石矿床稀土元素特征及地质意义

董文超, 庞绪成*, 司媛媛, 梁 贞, 李文明

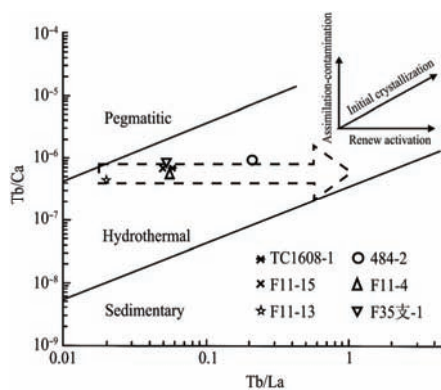


Diagram of Tb/Ca-La/Ho in fluorite from research area

中国稀土学报, 2020, 38(5): 706-714